

白云石耐火材料

崔之开 編著

冶金工业出版社

白 云 石 耐 火 材 料

崔 之 开 编 著

冶金工业出版社

內容簡介

本書較系統地從基本理論上介紹了白雲石原料的性能，各種白雲石材料和制品的生產工藝、性能和使用效果。其中“穩定性白雲石制品”一章中，除介紹了一些國外生產的情況之外，還闡述了目前我國的一些試製情況。本書還在有關的章節中介紹了煅燒白雲石燒塊和制品的設備，其中包括土窯在內。對“土法”和“洋法”的製造工藝也都作了闡述。因此，本書是耐火材料廠、冶金工廠耐火材料車間工程技術人員以及科學研究人員的一本實用參考書。

白雲石耐火材料

崔之升 編著

冶金工業出版社出版（北京市燈市口甲45號）

北京市書刊出版業營業許可證出字第093號

人民大學印刷廠印 新華書店發行

— * —
1960年1月第一版

1960年1月北京第一次印刷

印數2,520冊

開本 850×1168 · 1/32 · 105,000字印張4^{2/3}_{3/2}

— * —
統一書號15062 · 1963 定價0.63元

目 录

序 言	1
第一章 白云石耐火材料的分类	3
第二章 白云石原料	5
§1. CaO在各系統中的平衡相图	5
二元系	5
三元系	10
§2. 白云石的化学组成	19
§3. 白云石的矿物性质	20
§4. 白云石和石灰石的鉴别方法	22
第三章 白云石在煅烧过程中的热效应及物理化学变化	24
第四章 冶金白云石烧块	35
§1. 影响冶金白云石质量因素的讨论	35
§2. 冶金白云石的生产工艺	43
§3. 白云石烧块的煅烧设备	45
1. 竖窑	47
2. 回转窑	61
3. 土窑	62
§4. 冶金白云石的应用	67
第五章 含游离氧化钙的白云石制品	68
§1. 原料	68
冶金白云石烧块	68
镁砂	70
§2. 结合剂	74
1. 各种无水有机结合剂的性能	75
2. 焦油和沥青的作用	78
§3. 制品泥料的配制	80

1. 結合劑的處理及加入量	80
2. 泥料粒度的配比	82
3. 旧爐襯的回收	84
§4. 泥料的混合	86
§5. 制品的压制	88
1. 捣打法	88
2. 磚砌法	89
3. 混合法	94
§6. 制品的烘烤	94
§7. 制品的性能及用途	99
第六章 稳定性白云石制品	101
§1. 稳定性白云石燒塊	102
1. 稳定原理	102
2. 燒塊煅燒时的化学及矿物性質的討論	103
3. 稳定性白云石燒塊的配料計算	107
4. 燒塊原料的組合种类及煅燒工艺	111
§2. 稳定性白云石制品	130
1. 燒塊的檢选及破碎	130
2. 泥料的混合及臘置	131
3. 成型及干燥	131
4. 燒成	132
5. 白云石制品的性質及使用	140
第七章 白云石質复合制品	143
§1. 白云石—鎳砂制品	143
§2. 鉻矿—白云石制品	146
参考文献	149

序　　言

黑色冶金工业所消耗的耐火材料約占耐火材料总产量的60%以上，其中主要的消耗者是冶金工厂的煉鋼車間。而鹼性耐火材料几乎90%都用于煉鋼生产。不論是在电爐、轉爐或平爐中，要想將高磷、硫的生鐵冶煉成合乎工业要求，具有最低磷、硫含量的优质鋼，都必須采用高質量的鹼性耐火材料作为爐子的內襯。这是因为：在高磷硫生鐵的冶炼中，为了完成磷、硫的氧化和脫除，通常需加入相当于金屬量10—15%的石灰造鹼性渣，使已被氧化的 P_2O_5 和 FeS 与爐渣中 CaO 作用生成 $(CaO)_4P_2O_5$ 和 CaS ：



所以，只有采用与爐渣具有相同性質（强鹼性）的耐火材料作为爐襯，才能使爐体对强鹼性爐渣在高温下具有优良的抗浸蝕的性能。可担起这种任务的鹼性耐火材料有鎳磚、冶金鎳砂、鎳鎳磚，鎳橄欖石磚、蛇紋石制品及白云石磚等。在上述各种制品中，除白云石制品外，大都受到矿藏資源不足或工艺操作困难及其它一些因素的限制，不能大量生产。

例如我国就目前已发现的鎳鐵矿資源尚不能滿足生产需要，以致限制了鎳鎳磚的生产。

而白云石資源极其丰富，蘊藏在全国各地，并且質量优良。从制得的产品的性質来看，白云石制品和鎳質制品极为相近。毫无疑问，白云石耐火材料將有广泛的发展前途。目前，几乎100%的鹼性轉爐都已采用焦油白云石材料或焦油白云石—鎳砂的。

混合材料作为爐襯。稳定性白云石磚的試制（在国外早在1930年就已开始研究生产，并获得良好的效果。）工作在我国已

开始进行，并也获得初步成效。

本書較系統地介紹了白云石原料的性能，各種白雲石材料和制品的生产工艺、性能和使用效果。

其中“稳定性白雲石制品”一章中，除介紹了一些国外生产的情况之外，还闡述了北京鋼鐵學院和北京耐火厂目前的一些試制情况。参加試制工作的有北京鋼鐵學院陳鴻復，崔之開同志，北京耐火厂的王敏君同志。由于試制的时间还是較短的，对很多現象觀察得还是不够仔細和全面的，收集的数据和資料也是不够充分的，所以在闡述中可能会有錯誤，請讀者指正。

其次，本書在有关的章节中还介紹了白雲石燒塊及制品煅燒所用設備的構造。其中，在采用土窯煅燒冶金白雲石及稳定性白雲石燒塊获得成功这一点，虽不是今后的方向，但在目前是有其現實意義的。首先，它可不因暫時缺少或來不及新建一套完整的机械化煅燒窯（迴轉爐，机械化豎爐）而停止該种制品的生产，其次，使研究成果能尽快地、不受任何条件（特別是設備条件）的限制，而被推广采用，以解决目前鎳質制品供应緊張的問題。所以，在本書中，不論在制造工艺及煅燒設備上对“土法”及“洋法”都同样作了仔細介紹，以供讀者参考。

編者 1959年

第一章 白云石耐火材料的分类

高級耐火白云石制品是用煅燒白云石燒塊或鎳石—白云石、鎳矿—白云石混合燒塊制成的。制品內有的不加加入物，有的加入鎳砂、鎳矿或其它成份的加入物。

通常，在白云石耐火材料中， CaO 含量不少于40%， MgO 不少于35%，杂质的含量为15—25%。白云石耐火材料的耐火度通常为1780—1800°C或更高；抗压强度波动范围很大，其值为150—1000公斤/厘米²；气孔率为15—25%；荷重軟化开始点为1500—1600°C，40%压缩点为1550—1750°C；制品的热稳定性变化很小，一般令人满意。白云石耐火材料的最大优点是对鹼性渣的浸蝕的稳定性。

按照白云石制品的特点，分类如下。

1. 按 CaO 存在的状态，白云石制品可分为：

1) CaO 以結合状态存在的白云石制品——这类制品不論是煅燒的或不燒的，都是由白云石加入稳定剂（ SiO_2 、氧化鐵、蛇紋石、骨灰及其他）和各种矿物或有机物結合剂混合制成的。由于沒有游离 CaO 存在，这种制品存放在空气內不会破坏。同时，由于骨灰的加入，使 $2\text{CaO} \cdot \text{SiO}_2$ 处于稳定状态，不致在冷却中由于 $\beta 2\text{CaO} \cdot \text{SiO}_2$ 轉化为 $\gamma - 2\text{CaO} \cdot \text{SiO}_2$ 而使制品产生松散現象；

2) CaO 以游离状态（不結合）存在的白云石制品——这类制品一般是由含有游离 CaO 的燒塊加入有机結合剂（焦油，瀝青）制成的。將它保存在空气中，由于和水汽接触，它將发生水化松散現象。

2. 按化学組成，白云石制品可分为：

1) 白云石質制品——以白云石为原料，加入各种稳定剂及結合剂混合制成；

2) 白云石—鎳石制品——在稳定白云石料內加入20—30%

冶金鎂砂，并以一定有机物作結合剂混合制成。这种制品在耐火度及热稳定性等性質上比稳定性白云石制品要好一些，其它性質基本相似。

3) 白云石—鎂矿制品——苏联П·П·布德尼柯夫早在1939年已进行这种制品的工艺实验，其組成为白云石74%，铁矿20%，硅石6%。这种制品具有較好的热稳定性和較高的荷重軟化点；

4) 鎂石—白云石制品——用70—80%的鎂砂和20—30%的白云石燒結塊混合制成。这种制品气孔率低；荷重軟化点高；热稳定性好；在抗渣性能上仅次于鎂磚。

3.按热加工的方法，白云石制品可分为：

1) 不燒制品——用稳定性白云石燒塊加入結合剂混合压成后直接使用，不进行煅燒；

2) 煅燒制品——制成磚坯，放入窑内經高温煅燒而成。

第二章 白云石原料

§1. CaO在各系統中的平衡相图

制造白云石耐火材料的原料为白云石，它是由鈣鎂碳酸鹽 $[CaMg(CO_3)_2]$ 所組成的混合物。

当白云石材料本身 $\frac{CaO}{MgO}$ 的比近于1.39时，原料組成和白云石的理論組成相符。MgO的含量大于理論含量和 CaO/MgO 的比值小于1.39的白云石，称为鎂質白云石；MgO含量过高的这类矿物，叫做白云石質鎂石，这是鎂石和白云石的混合物。相反，如与过量方解石或石灰石締合，则称为白云石質石灰石。

一般，生白云石在煅燒时，其中的二氧化碳逸去，得到的产物为氧化鈣和氧化鎂的混合物。在这混合物中，氧化鈣要比氧化鎂活潑得多。冶金白云石在使用中的“分解”現象，一般是由冶金白云石中的氧化鈣首先水化而引起的。 CaO 虽然在性質上基本与 MgO 相似，但前者具有更大的活潑性。

CaO 与 MgO 一样，属于正方晶系，其比重从3.08到3.30。純 CaO 比重为3.32，折射率为1.83。單位晶格的菱邊長度为4.799 \AA° 。

为了进一步研究白云石料在煅燒中各組成間的变化及其矿物組成，有必要对 CaO 所在各系統內的相图作一全面的了解。

二元系

CaO—MgO

$CaO—MgO$ 系統的相图，如图1所示。

从图1可以看出，这两种氧化物(CaO , MgO)的混合物，其熔点没有一个低于 2300°C 。因此，在没有渣化的烧结白云石的耐火度总是很高的。通常，完全纯净的白云石(在自然界中不可能有)的熔点为 2500 — 2800°C 。最易熔融的纯净氧化钙和氧化镁的混合物的熔点为 2300°C ，其中 MgO 占 35% 、 CaO 占 65% 。

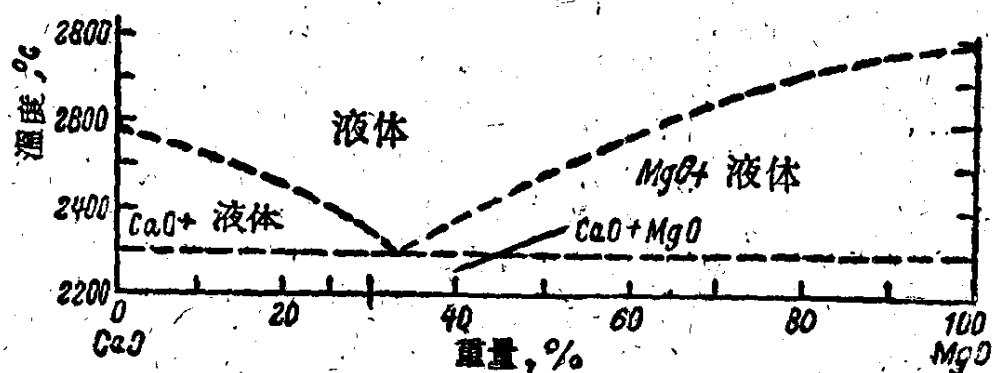


图1. $\text{CaO}-\text{MgO}$ 系統

$\text{CaO}-\text{SiO}_2$
 $\text{CaO}-\text{SiO}_2$ 系統
 的相图，如图2所示。
 图3是苏联学者Я.И.
 奥尔尙斯基根据 CaO
 — SiO_2 系統在高温下
 的熔析作用的最新資料
 的分析作出。

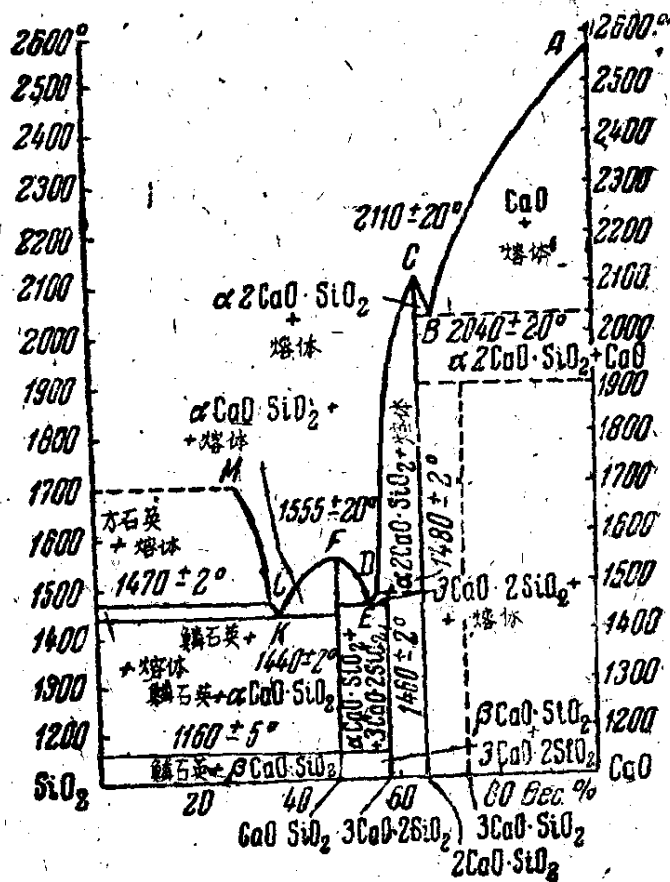


图2. $\text{CaO}-\text{SiO}_2$ 系統組成圖

在 $\text{CaO}-\text{SiO}_2$ 系統中，具有下列化学組成的硅酸鹽化合物：

1. $\text{CaO} \cdot \text{SiO}_2$ 这种化合物有兩种变体——硅灰石（單斜晶柱）和假硅灰石（假六面体）。按另一种方式表示，前一种变体又称为 β 硅灰石，后一种变化又称为 α 硅灰石。在高温下硅灰石

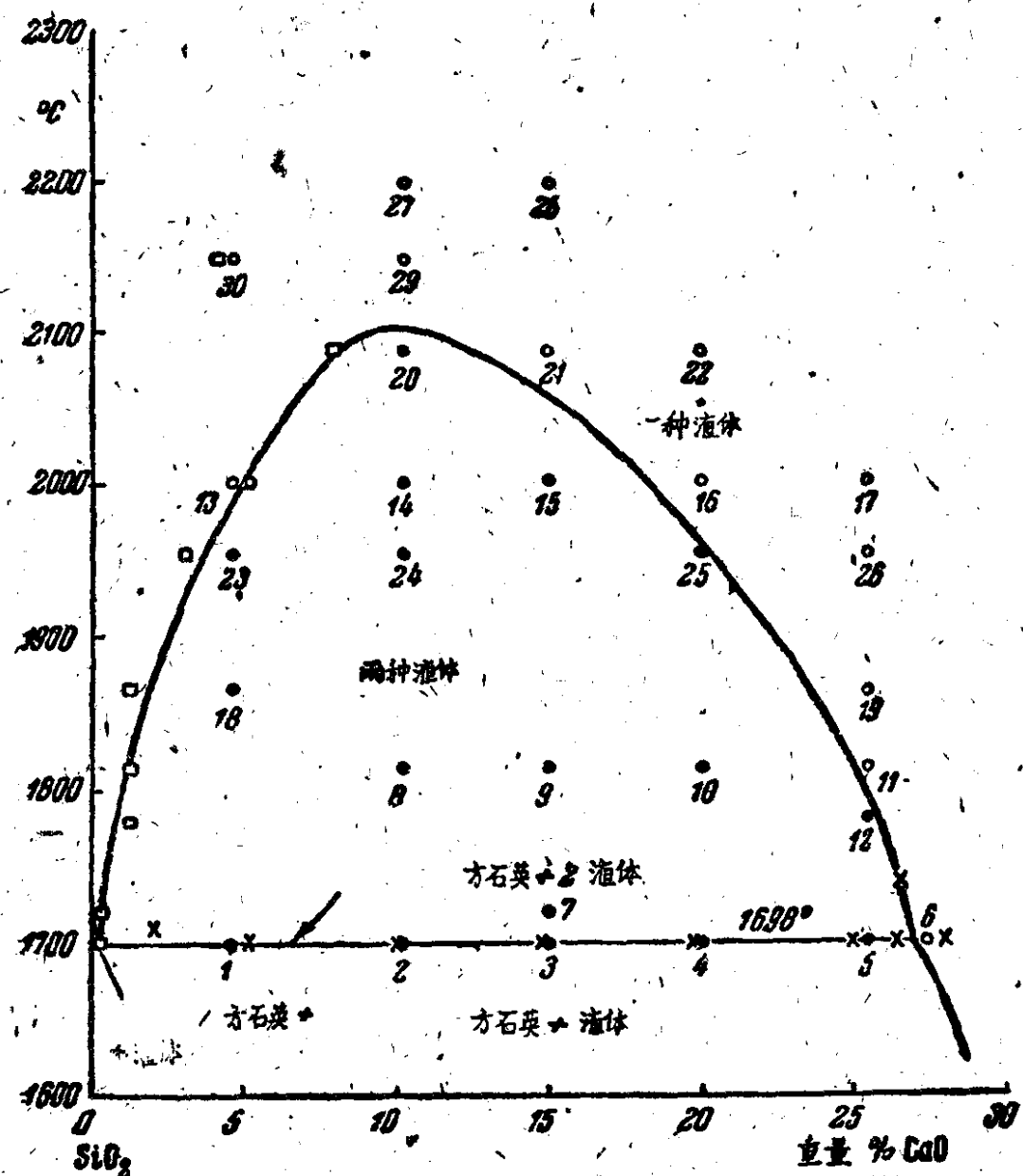


图3. $\text{CaO}-\text{SiO}_2$ 系統熔析变化的部分曲綫

(按Я.И.奥爾尙斯基的最新資料作出)

• 一种液体； • 兩种液体； □ 玻璃体的組成，按折射系数用內推法求得； × 按格列克的一种液； × 按格列克的兩种液体

的稳定性不及假硅灰石，假硅灰石的熔点为 1540°C 。

2. $3\text{CaO} \cdot 2\text{SiO}_2$ 这种化合物的晶粒属于斜方晶系。在 1475°C 时开始分解成熔融体和 $2\text{CaO} \cdot \text{SiO}_2$ 晶体。

3. $2\text{CaO} \cdot \text{SiO}_2$ 具有三种变体—— α 、 β 和 γ ；其中 α 和 β 两种变体相互在密度和光折射性质上都非常近似；但前者属于假六面体，后者属于斜方晶系。 $\gamma - 2\text{CaO} \cdot \text{SiO}_2$ 和 $\beta - 2\text{CaO} \cdot \text{SiO}_2$ 的主要区别是 $\gamma - 2\text{CaO} \cdot \text{SiO}_2$ 的比重比 $\alpha - 2\text{CaO} \cdot \text{SiO}_2$ 要小10%。

在 675°C 时发生 $\gamma \rightleftharpoons \beta$ 型的可逆转化； 1420°C 时发生 $\beta \rightleftharpoons \alpha$ 型的可逆转化。 $\alpha - 2\text{CaO} \cdot \text{SiO}_2$ 的熔点为 2130°C 。

$\beta - 2\text{CaO} \cdot \text{SiO}_2$ 结晶体存在于硅酸盐水泥熟料内以及 CaO 含量大的高炉渣内。由于冷却作用，在 $\beta - 2\text{CaO} \cdot \text{SiO}_2$ 转变为 $\gamma - 2\text{CaO} \cdot \text{SiO}_2$ 的过程中，伴随着体积膨胀，并出现机械应力，从而熟料分裂成粉状细粒。

4. $3\text{CaO} \cdot \text{SiO}_2$ 的晶粒具有微弱的双折射性。在二元系中仅出现于固相内，到 1900°C 时便分解成 $2\text{CaO} \cdot \text{SiO}_2$ 和 CaO 。

$\text{CaO} - \text{SiO}_2$ 系统各结晶阶段的详细的特性列于表1中。

CaO— SiO_2 系

矿物名称	晶型	显微形态	解理	比重
$\alpha - \text{CaO} \cdot \text{SiO}_2$ 假硅灰石	假六边形	板状	沿(001)	2.912
$\beta - \text{CaO} \cdot \text{SiO}_2$	单斜形	条形木纹状	沿条形	2.915
$3\text{CaO} \cdot 2\text{SiO}_2$	斜方形，菱形	晶粒状	—	—
$\alpha - 2\text{CaO} \cdot \text{SiO}_2$	假六边形	棱晶状	沿棱晶	3.27
$\beta - 2\text{CaO} \cdot \text{SiO}_2$	斜方形，菱形	棱晶状，聚片双晶	沿棱晶	3.280
$\gamma - 2\text{CaO} \cdot \text{SiO}_2$	斜方形，菱形	棱晶状	—	2.970
$3\text{CaO} \cdot \text{SiO}_2$	六边形	晶粒状，片状双晶	—	—
CaO	立方形	圆形晶粒	沿立方体	3.316

$\text{CaO}-\text{Al}_2\text{O}_3$

$\text{CaO}-\text{Al}_2\text{O}_3$ 二元系的相图如图4所示。系統內各結晶阶段的特性列于表2。在各成份中, $\text{CaO} \cdot \text{Al}_2\text{O}_3$ 具有重要的实际意义。它(斜方晶系, 呈柱狀晶骸狀)是構成矾土水泥熟料的主要組成部份。

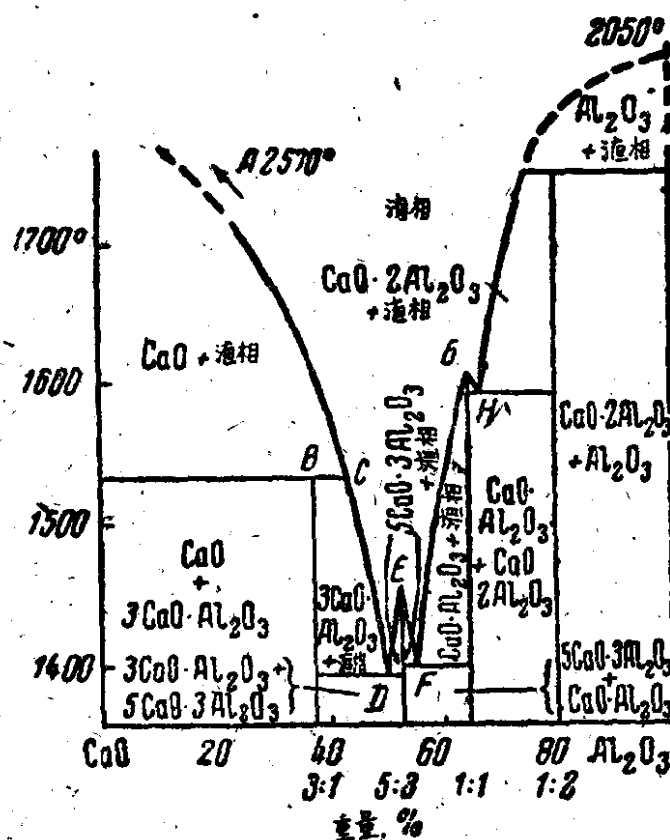


图4. $\text{CaO}-\text{Al}_2\text{O}_3$ 系统图

統的矿物特性

表1

Ng	Nm	Np	$2v$	消光
1.654	$\text{Nm} = \text{Np} = 1.610$		0-70°	差不多是直的(3°以下)
1.631	1.620	1.615	(-)39°	斜的
1.650	1.645	1.641	(+)很大	-
1.737	1.720	1.715	(+)30°	-
1.735		1.717	(+)很大	-
1.654	1.645	1.642	(-)60°	-
-	1.715	-	(-)30°	$\text{Ng}-\text{Np} \approx 0.005$
-	1.837	-	-	-

$\text{CaO}-\text{Al}_2\text{O}_3$ 系

矿物名称	晶型	显微形态	解理	比重
$3\text{CaO}\cdot\text{Al}_2\text{O}_3$	立方形	晶粒状	沿(100)和 (110)松弛处	3.038
$5\text{CaO}\cdot 3\text{Al}_2\text{O}_3$	—	黄色晶粒状	—	2.820
$\text{CaO}\cdot\text{Al}_2\text{O}_3$	斜方形、菱形	棱晶，晶核	沿松软处	2.981
$\text{CaO}\cdot 2\text{Al}_2\text{O}_3$	单斜形	棱，针状	—	—
$\text{CaO}\cdot 6\text{Al}_2\text{O}_3$	六边形	板状	—	3.31

$3\text{CaO}\cdot\text{Al}_2\text{O}_3$ (立方晶体) 是硅酸盐水泥熟料的不变组成份之一。

三元系

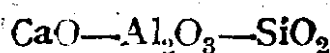


图5表示的 $\text{CaO}-\text{Al}_2\text{O}_3-\text{SiO}_2$ 三元系的相图是极其复杂的，但将其与相应的二元系相比较，可以发现有两种新的三组分物质：

1. $\text{CaO}\cdot\text{Al}_2\text{O}_3\cdot 2\text{SiO}_2$ 钙长石；

2. $2\text{CaO}\cdot\text{Al}_2\text{O}_3\cdot\text{SiO}_2$ 弹性地蜡。

这两种物质的主要矿物特性列于表3。

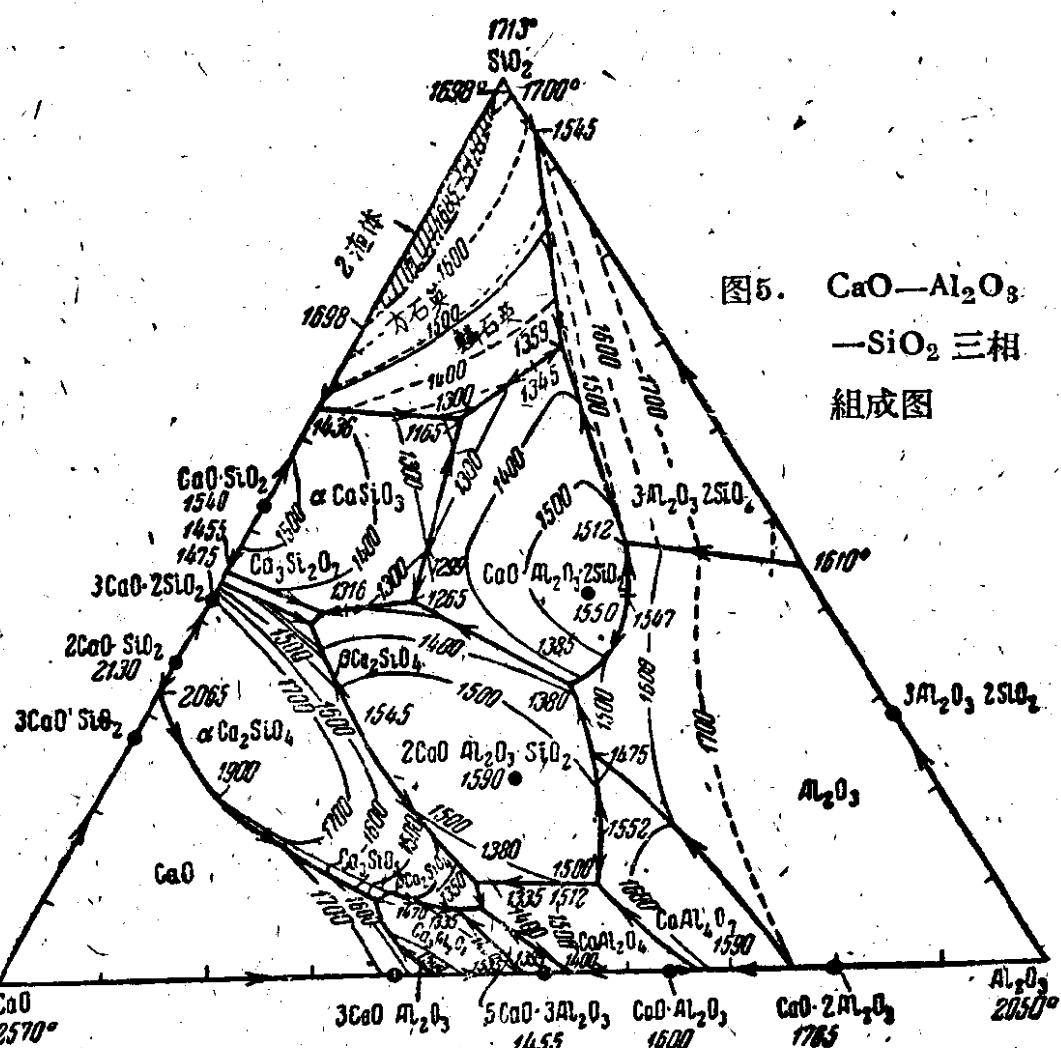
 $\text{CaO}-\text{SiO}_2-\text{Al}_2\text{O}_3$ 系

矿物名称	晶型	显微形态	解理	比重
$\text{CaO}\cdot\text{Al}_2\text{O}_3\cdot 2\text{SiO}_2$ 钙长石	Триклинная	条形，板状，聚片双晶	沿(001)和 (010) $< 88^\circ$	2.765
$2\text{CaO}\cdot\text{Al}_2\text{O}_3\cdot\text{SiO}_2$ 弹性地蜡	方 形	板状，晶粒状	沿(001)	3.038

系统的矿物特性

表2

Ng	Nm	Np	2V	消光
—	1.710	—	反常的双折射	—
—	1.608	—	—	—
1.663	1.655	1.643	(-)36°	—
1.652	Nm=Np=1.617	(Ne)	(+)很小	斜, 角度大
(No)	—	(Ne)	—	—
1.66—1.68	—	1.63—1.65	(-)0°	—

图5. $\text{CaO}-\text{Al}_2\text{O}_3-\text{SiO}_2$ 三相组成图

系统的矿物特性

表3

Ng	Nm	Np	2V	消光
1.589	1.583	1.576	(+)77°	45°以下
(No)	—	(Ne)	(-)0°	—
1.669	—	1.658	—	—

无论是否长石或弹性地蜡，都在渣中发现有它们存在。此外，是否长石还存在于砾土水泥中。

图6是从 $\text{CaO}-\text{Al}_2\text{O}_3-\text{SiO}_2$ 三元系相图中截取出来的，它描述了一些复杂组分 $\text{SiO}_2-\text{CaO} \cdot \text{SiO}_2-\text{CaO} \cdot \text{Al}_2\text{O}_3 \cdot 2\text{SiO}_2$ 间的一个特殊系统。最初的熔点在相图点上，1500°C 时开始结晶析出方石英。

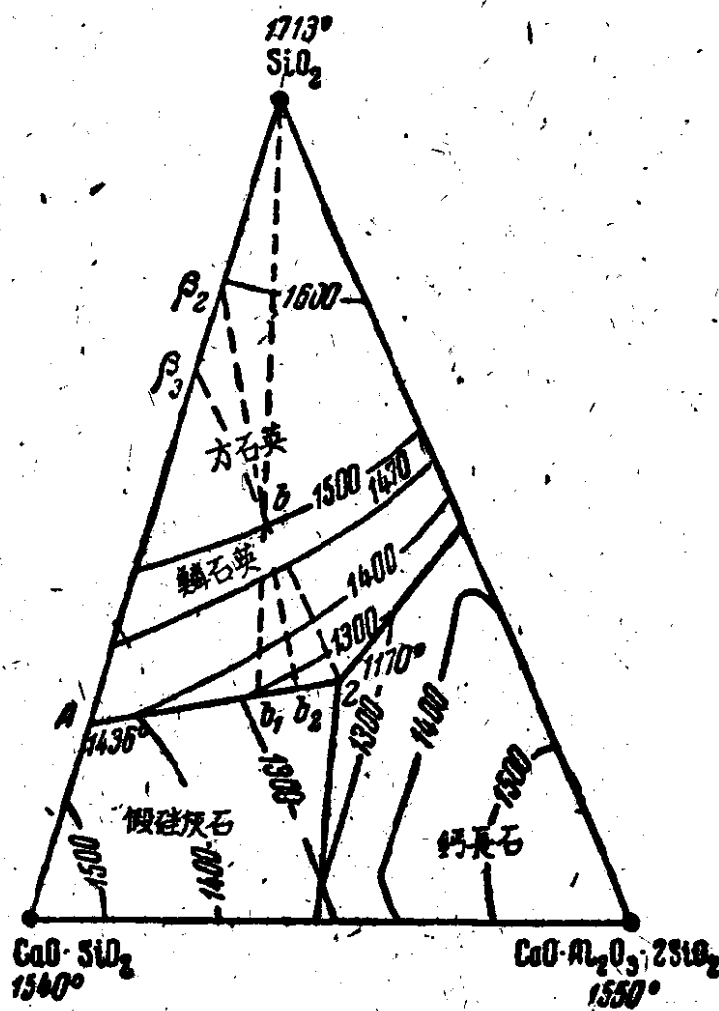


图6. $\text{SiO}_2-\text{CaO} \cdot \text{SiO}_2-\text{CaO} \cdot \text{Al}_2\text{O}_3 \cdot 2\text{SiO}_2$
系统相图 (CaO-Al₂O₃-SiO₂相图之一部份)

表4为 $\text{CaO}-\text{SiO}_2-\text{Al}_2\text{O}_3$ 系统内各不变状态的组成和温度。